

- Bisherige Schemata sind nur *conditionally stable*
 - D.h.: Nur stabil für Δt in einem bestimmten Bereich
 - Dieser Bereich hängt von der Steifigkeit der Federn ab
- Ziel: *unconditionally stable*
- Eine Möglichkeit: **implizite Euler-Integration**

explizit

$$\mathbf{x}_i^{t+1} = \mathbf{x}_i^t + \Delta t \mathbf{v}_i^t$$

$$\mathbf{v}_i^{t+1} = \mathbf{v}_i^t + \Delta t \frac{1}{m_i} \mathbf{f}(\mathbf{x}^t)$$

implizit

$$\mathbf{x}_i^{t+1} = \mathbf{x}_i^t + \Delta t \mathbf{v}_i^{t+1}$$

$$\mathbf{v}_i^{t+1} = \mathbf{v}_i^t + \Delta t \frac{1}{m_i} \mathbf{f}(\mathbf{x}^{t+1})$$

- Wir haben jetzt ein System von nicht-linearen, algebraischen Gleichungen, mit \mathbf{x}^{t+1} und \mathbf{v}^{t+1} als **Unbekannte auf beiden Seiten** → **implizite Integration**

- Schreibe die vielen impliziten Gleichungen als **ein großes** Gleichungssystem um :

$$M\mathbf{v}^{t+1} = M\mathbf{v}^t + \Delta t \mathbf{f}(\mathbf{x}^{t+1}) \quad (1)$$

$$\mathbf{x}^{t+1} = \mathbf{x}^t + \Delta t \mathbf{v}^{t+1} \quad (2)$$

- Einsetzen von (2) in (1) ergibt:

$$M\mathbf{v}^{t+1} = M\mathbf{v}^t + \Delta t \mathbf{f}(\mathbf{x}^t + \Delta t \mathbf{v}^{t+1})$$

- Die Taylor-Reihe für \mathbf{f} ist:

$$\begin{aligned} \mathbf{f}(\mathbf{x}^t + \Delta t \mathbf{v}^{t+1}) &= \mathbf{f}(\mathbf{x}^t) + \frac{\partial}{\partial \mathbf{x}} \mathbf{f}(\mathbf{x}^t) \cdot (\Delta t \mathbf{v}^{t+1}) \\ &\quad + O((\Delta t \mathbf{v}^{t+1})^2) \end{aligned}$$

- Einsetzen:

$$\begin{aligned}
 M \mathbf{v}^{t+1} &= M \mathbf{v}^t + \Delta t \left(\mathbf{f}(\mathbf{x}^t) + \underbrace{\frac{\partial}{\partial \mathbf{x}} \mathbf{f}(\mathbf{x}^t)}_K \cdot (\Delta t \mathbf{v}^{t+1}) \right) \\
 &= M \mathbf{v}^t + \Delta t \mathbf{f}(\mathbf{x}^t) + \Delta t^2 K \mathbf{v}^{t+1}
 \end{aligned}$$

- K ist die Jacobi-Matrix (= Ableitung):

$$K = \begin{pmatrix} \frac{\partial}{\partial x_{11}} f_{11} & \frac{\partial}{\partial x_{12}} f_{11} & \dots & \frac{\partial}{\partial x_{n3}} f_{11} \\ \vdots & \vdots & \ddots & \vdots \\ \frac{\partial}{\partial x_{11}} f_{n3} & \dots & \dots & \frac{\partial}{\partial x_{n3}} f_{n3} \end{pmatrix}$$

- Heißt **tangent stiffness matrix**

- (Die normale Steifigkeitsmatrix wird im Gleichgewichtszustand ausgewertet; hier aber an einer beliebigen, aktuellen Position des Systems; daher der Name "*tangent ...*")

- Terme umordnen:

$$(M - \Delta t^2 K) \mathbf{v}^{t+1} = M \mathbf{v}^t + \Delta t \mathbf{f}(\mathbf{x}^t)$$

- Das ist von der Form:

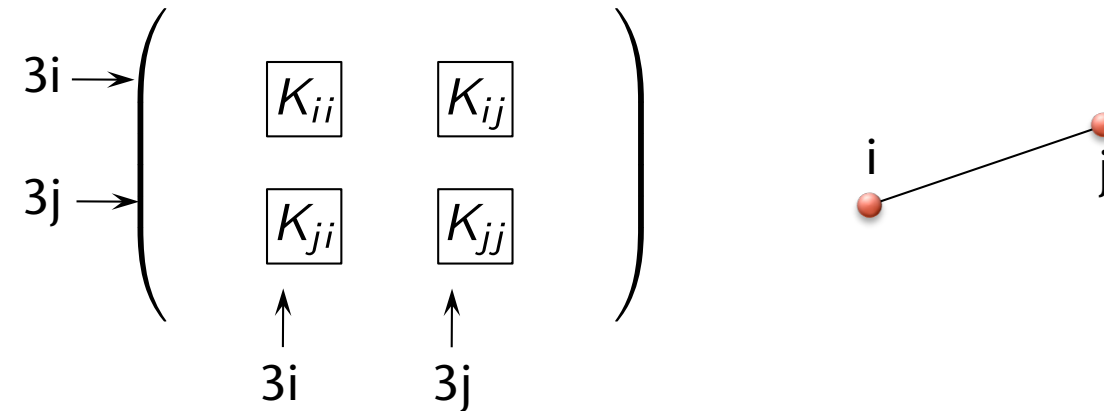
$$A \mathbf{v}^{t+1} = \mathbf{b}$$

$$\text{mit } A \in \mathbb{R}^{3n \times 3n}, \quad \mathbf{b} \in \mathbb{R}^{3n}$$

- Löse dieses LGS mittels einer iterativen Methode
 - Denn: A ändert sich in jedem Frame

Berechnung der Steifigkeitsmatrix

- Die Anatomie der Matrix K :
 - Eine Feder (i, j) addiert folgende vier 3×3 Untermatrizen zu K :



- Die Matrix K_{ij} entsteht durch die Ableitung von $\mathbf{f}_i = (f_{i1}, f_{i2}, f_{i3})$ nach $\mathbf{x}_j = (x_{j1}, x_{j2}, x_{j3})$:

$$K_{ij} = \begin{pmatrix} \frac{\partial}{\partial x_{j1}} f_{i1} & \frac{\partial}{\partial x_{j2}} f_{i1} & \frac{\partial}{\partial x_{j3}} f_{i1} \\ \vdots & & \vdots \\ \frac{\partial}{\partial x_{j1}} f_{i3} & \dots & \frac{\partial}{\partial x_{j3}} f_{i3} \end{pmatrix}$$

- Betrachte im folgenden nur f^S (Federkraft)

- Zunächst K_{ii} :

$$\begin{aligned}
 K_{ii} &= \frac{\partial}{\partial \mathbf{x}_i} f_i(\mathbf{x}_i, \mathbf{x}_j) \\
 &= k_s \frac{\partial}{\partial \mathbf{x}_i} \left((\mathbf{x}_j - \mathbf{x}_i) - l_0 \frac{\mathbf{x}_j - \mathbf{x}_i}{\|\mathbf{x}_j - \mathbf{x}_i\|} \right) \\
 &= k_s \left(-I - l_0 \frac{-I \cdot \|\mathbf{x}_j - \mathbf{x}_i\| - (\mathbf{x}_j - \mathbf{x}_i) \cdot 2 \frac{(\mathbf{x}_j - \mathbf{x}_i)^\top}{\|\mathbf{x}_j - \mathbf{x}_i\|}}{\|\mathbf{x}_j - \mathbf{x}_i\|^2} \right) \\
 &= k_s \left(-I + l_0 \frac{1}{\|\mathbf{x}_j - \mathbf{x}_i\|} I + \frac{2l_0}{\|\mathbf{x}_j - \mathbf{x}_i\|^3} (\mathbf{x}_j - \mathbf{x}_i)(\mathbf{x}_j - \mathbf{x}_i)^\top \right)
 \end{aligned}$$

—

- Aus einigen Symmetrien folgt:

- $K_{ij} = \frac{\partial}{\partial \mathbf{x}_j} f_i(\mathbf{x}_i, \mathbf{x}_j) = -K_{ji}$

- $K_{jj} = \frac{\partial}{\partial \mathbf{x}_j} f_j(\mathbf{x}_i, \mathbf{x}_j) = \frac{\partial}{\partial \mathbf{x}_j} (-\mathbf{f}_i(\mathbf{x}_i, \mathbf{x}_j)) = K_{ii}$

- $K_{ji} = K_{ij}$

■ Zur Erinnerung:

■
$$\left(\frac{f}{g}\right)' = \frac{f'g - fg'}{g^2}$$

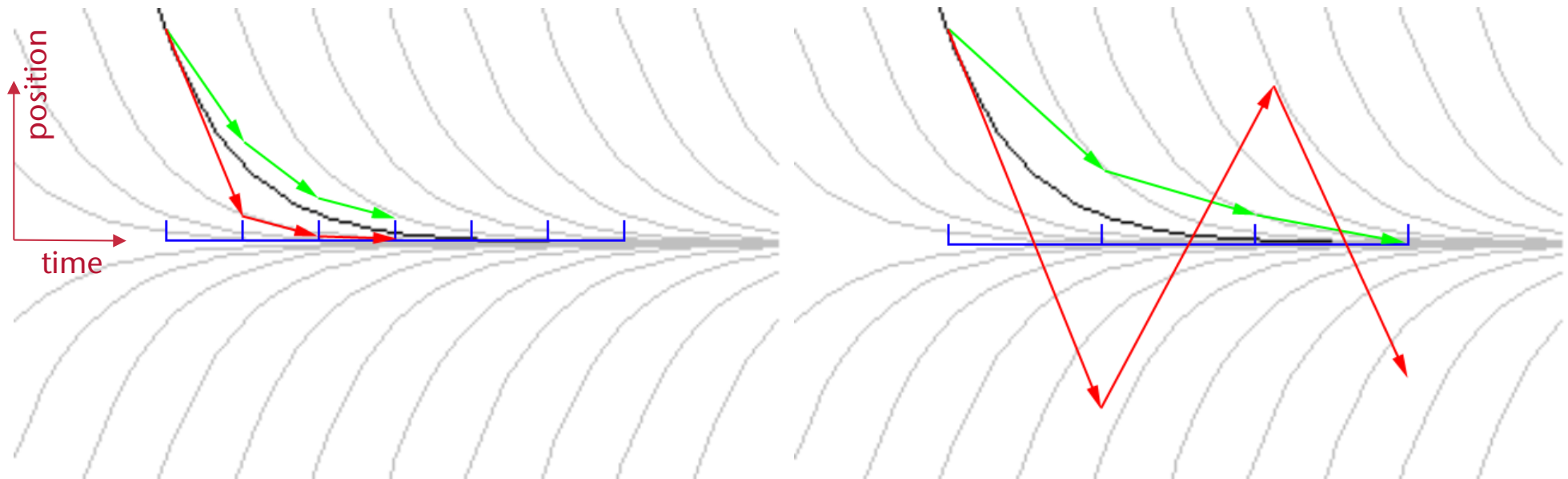
■
$$\frac{\partial}{\partial \mathbf{x}} \|\mathbf{x}\| = \frac{\partial}{\partial \mathbf{x}} \left(\sqrt{x_1^2 + x_2^2 + x_3^2} \right) = 2 \frac{\mathbf{x}^T}{\|\mathbf{x}\|}$$

- Setze $K = 0$
- Für jede Feder (i, j) berechne K_{ij} , K_{ji} , K_{jj} und akkumuliere zu K an den richtigen Stellen
- Berechne $\mathbf{b} = M \mathbf{v}^t + \Delta t f(\mathbf{x}^t)$
- Löse das LGS $\rightarrow \mathbf{v}^{t+1}$
- Berechne $\mathbf{x}^{t+1} = \mathbf{x}^t + \Delta t \mathbf{v}^{t+1}$

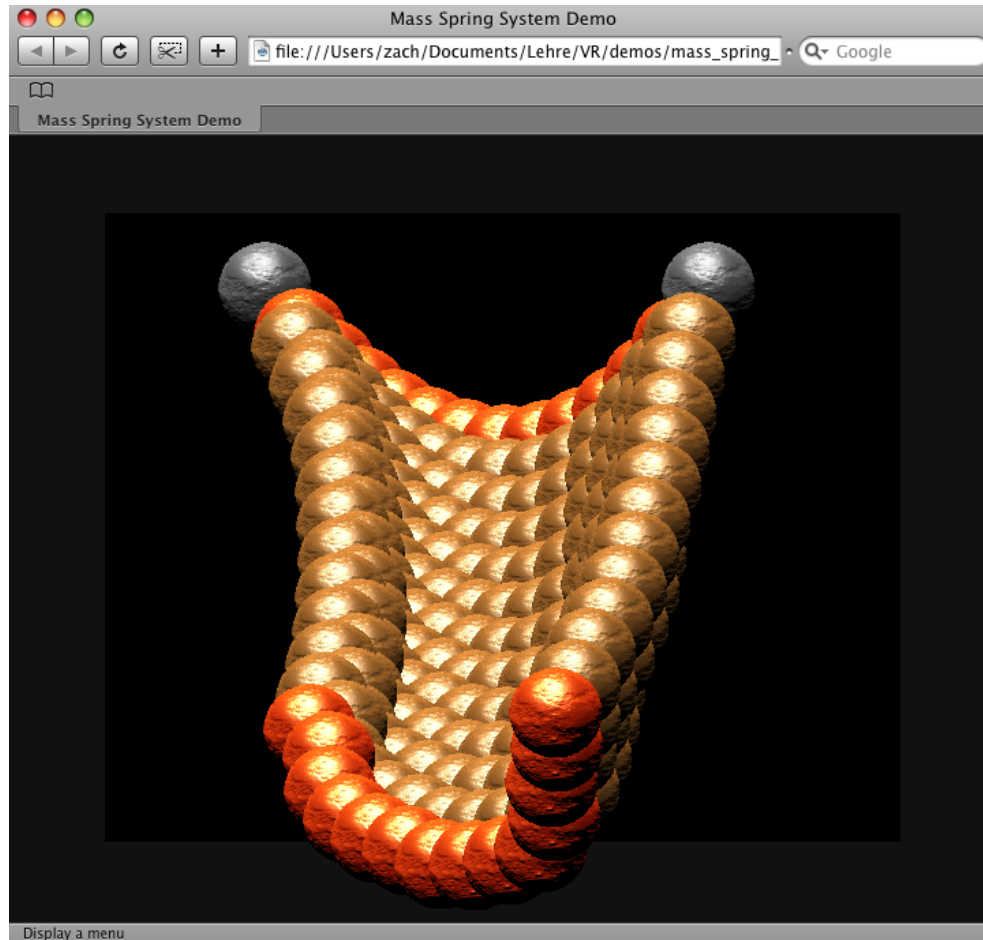
- **Explizite** Integration:
 - + Sehr einfach zu programmieren
 - kleine Schrittweite nötig
 - Steife Federn funktionieren nicht gut
 - Kräfte werden nur um eine Feder pro Schritt propagiert

- **Implizite** Integration:
 - + Unconditionally stable
 - + Steife Federn werden besser handhabbar
 - + Globaler Solver → Kräfte werden schon bei einem Simulationsschritt durch das ganze System propagiert
 - Große Schrittweiten nötig, da ein Schritt sehr teuer (und in Wahrheit schon aus vielen Einzelschritten besteht)
 - Unerwünschte Dämpfung durch das Integrationsverfahren

- Visualisierung: $\dot{x}(t) = -x(t)$



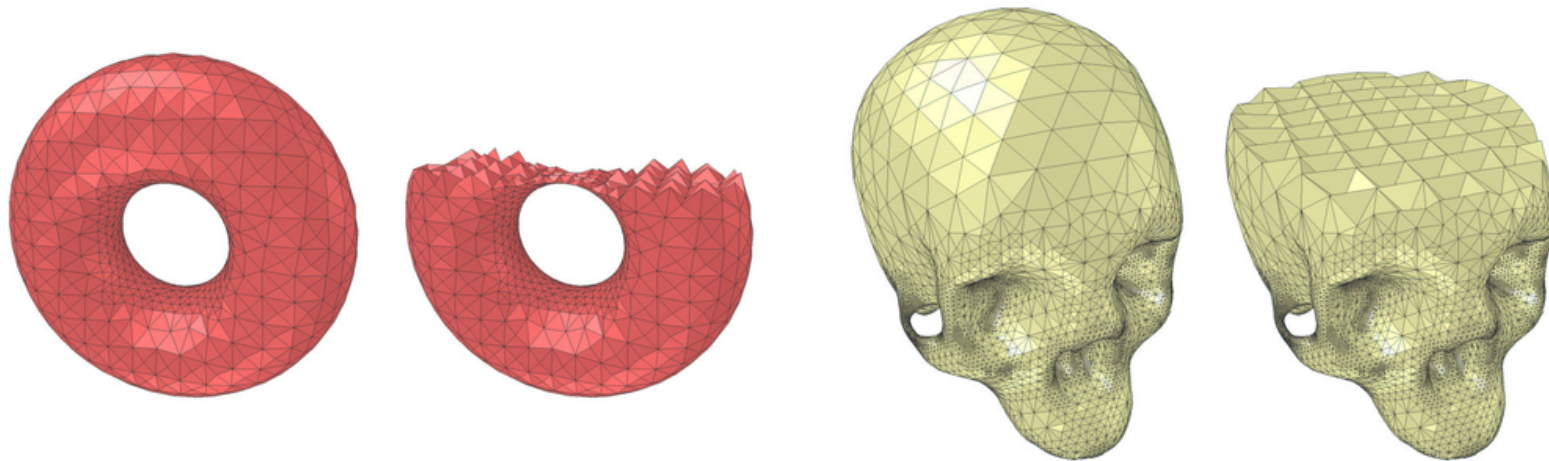
- Umgangssprachliche Beschreibung:
 - **Explizit** springt blind vorwärts, basierend auf der aktuellen Information
 - **Implizit** springt "rückwärts" und sucht dabei eine "nächste" Position genau so, daß der Rückwärtssprung bei der aktuellen Position landet



<http://www.dhteumeuleu.com/dhtml/v-grid.html>

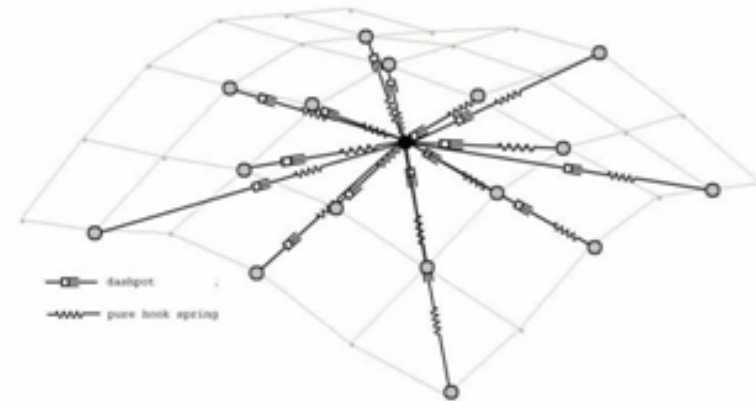
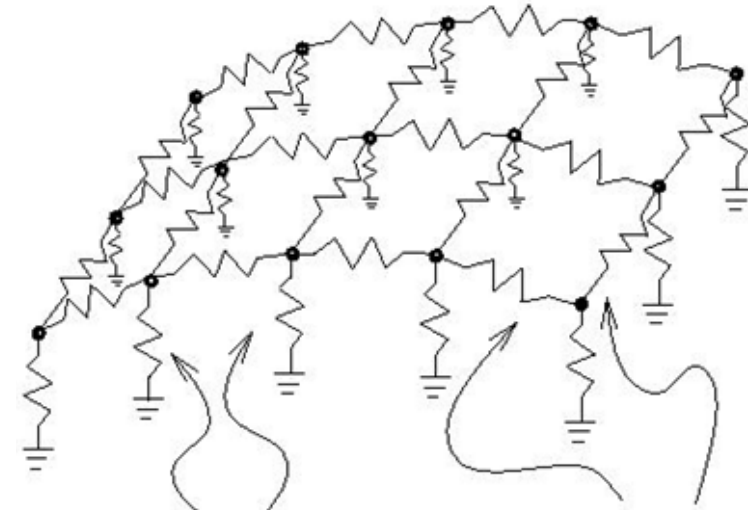
- Wie erzeugt man ein Feder-Masse-System aus einem 3D-Modell?
- Direkt 3D-Geometrie in Masse-Feder-System übersetzen liefert keine guten Resultate:
 - Geometrie oft zu hoch aufgelöst
 - Degenerierte Polygone
- Bessere (sehr einfache) Idee:
 - Erzeuge ein Tetraeder-Mesh (irgendwie) aus der Geometrie
 - Jeder Vertex wird ein Massepunkt, jede Kante eine Feder
 - Verteile die Masse der Tetraeder (= Dichte \times Volumen) gleichmäßig auf die Massepunkte

- Erzeugung des Tetraeder-Meshes (einfache Methode):
 - Verteile eine Menge von Punkten gleichmäßig (evtl. zufällig) im Inneren der Geometrie (sog. "Steiner-Punkte")
 - Dito in einer Schicht über der Oberfläche



- Verankerung des Oberflächen-Meshes im Tetraeder-Mesh:
 - Stelle jeden Vertex des Oberflächen-Meshes als baryzentrische Kombination der Tetraeder-Vertices dar, in dem er enthalten ist

- Bei 2-mannigfaltigen Feder-Masse-Systemen:
 - Verankere evtl. die Federn an einer Ruhelage
 - Führe evtl. "Querverstrebungen" ein

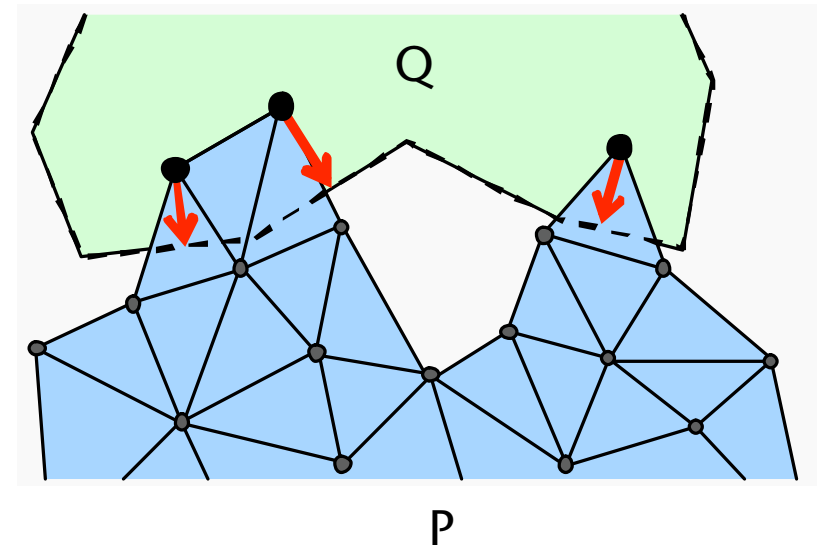


Kollisionserkennung

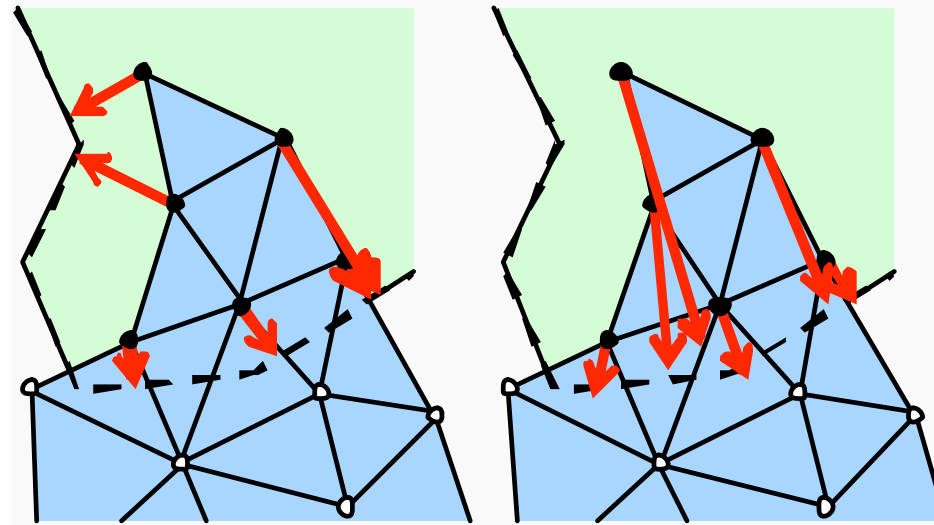
- Sortiere die Tetraeder in ein 3D Gitter (Hash-Tabelle!) ein
- Bei Kollision in der Hash-Tabelle:
 - Führe exakten Schnitttest zwischen 2 Tetraedern durch

Kollisionsantwort (collision response)

- Aufgabenstellung: gegeben zwei kollidierende Objekte P und Q (Tetraeder-Meshes) — welches ist die Rückstellkraft (**penalty force**)?
- Naiver Ansatz:
 - Berechne für jeden eingedrungenen Massepunkt von P die kleinste Distanz zur Oberfläche von Q → Kraft (Betrag + Richtung)
 - Problem:
 - unplausible Kräfte (implausibel?)
 - "Durchtunneln" (s. a. Force-Feedback-Kapitel)

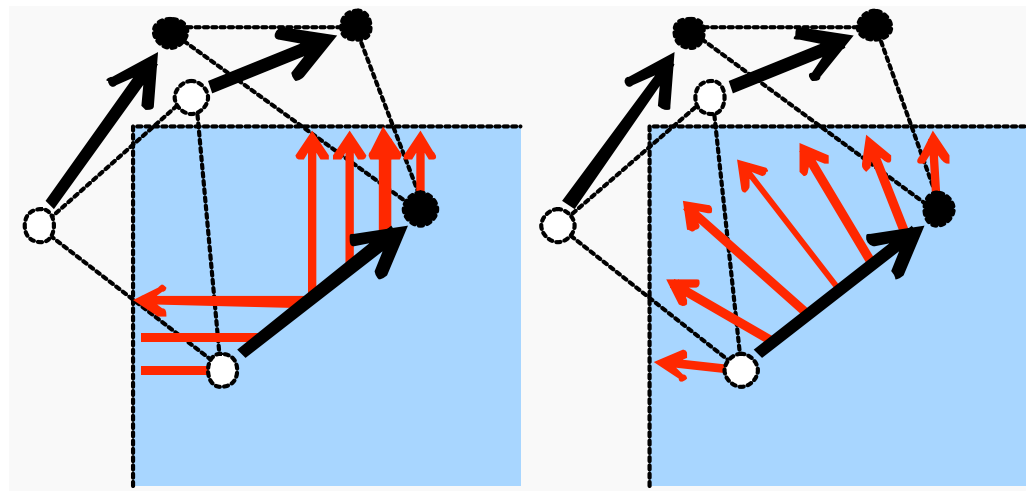


■ Beispiele:



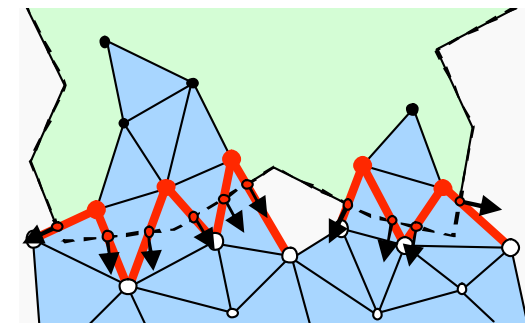
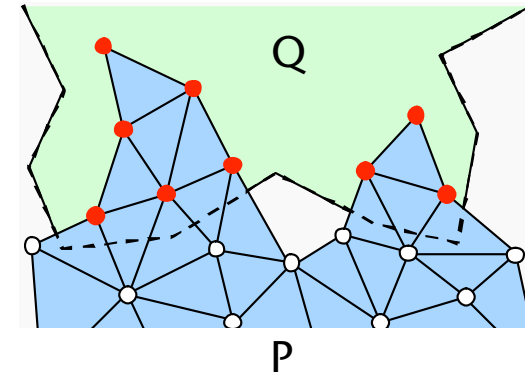
inkonsistent

konsistent



Konsistente Penalty Forces

1. Phase: identifiziere alle eindringenden Punkte von P
2. Phase: bestimme alle schneidenden Kanten von P
 - Berechne zu jeder solchen Schnittkante den exakten Schnittpunkt x_i
 - Berechne zu jedem Schnittpunkt eine Normale n_i
 - Z.B. mittels baryzentrischer Interpolation der Vertexnormalen von Q

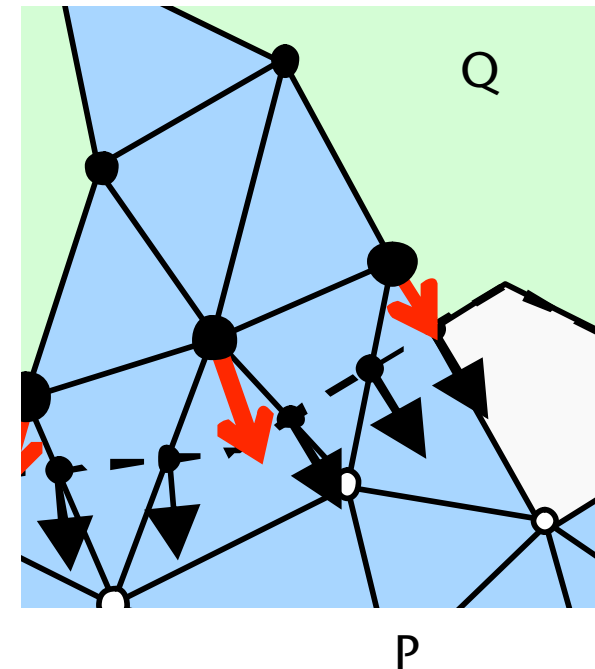


3. Phase: berechne ungefähre Kraft für "Randpunkte"

- Randpunkt = eingedrungener Punkt \mathbf{p} inzident zu einer Schnittkante
- Beobachtung: ein Randpunkt kann zu mehreren Schnittkanten inzident sein
- Eindringtiefe = gewichtete Summe

$$d(\mathbf{p}) = \frac{\sum_{i=1}^k \omega(\mathbf{x}_i, \mathbf{p}) (\mathbf{x}_i - \mathbf{p}) \cdot \mathbf{n}_i}{\sum_{i=1}^k \omega(\mathbf{x}_i, \mathbf{p})}$$

wobei $d(\mathbf{p})$ = approx. Eindringtiefe von Massepunkt \mathbf{p} , \mathbf{x}_i = Schnittpunkt der Schnittkante inzident zu \mathbf{p} , \mathbf{n}_i = Normale zur Oberfläche von Q im Schnittpunkt \mathbf{x}_i ,
 und $\omega(\mathbf{x}_i, \mathbf{p}) = \frac{1}{\|\mathbf{x}_i - \mathbf{p}\|}$



- Richtung der Kraft für Randpunkte:

$$\hat{\mathbf{r}}(\mathbf{p}) = \frac{\sum_{i=1}^k \omega(\mathbf{x}_i, \mathbf{p}) \mathbf{n}_i}{\sum_{i=1}^k \omega(\mathbf{x}_i, \mathbf{p})} \quad \mathbf{r}(\mathbf{p}) = \hat{\mathbf{r}}(\mathbf{p})^0$$

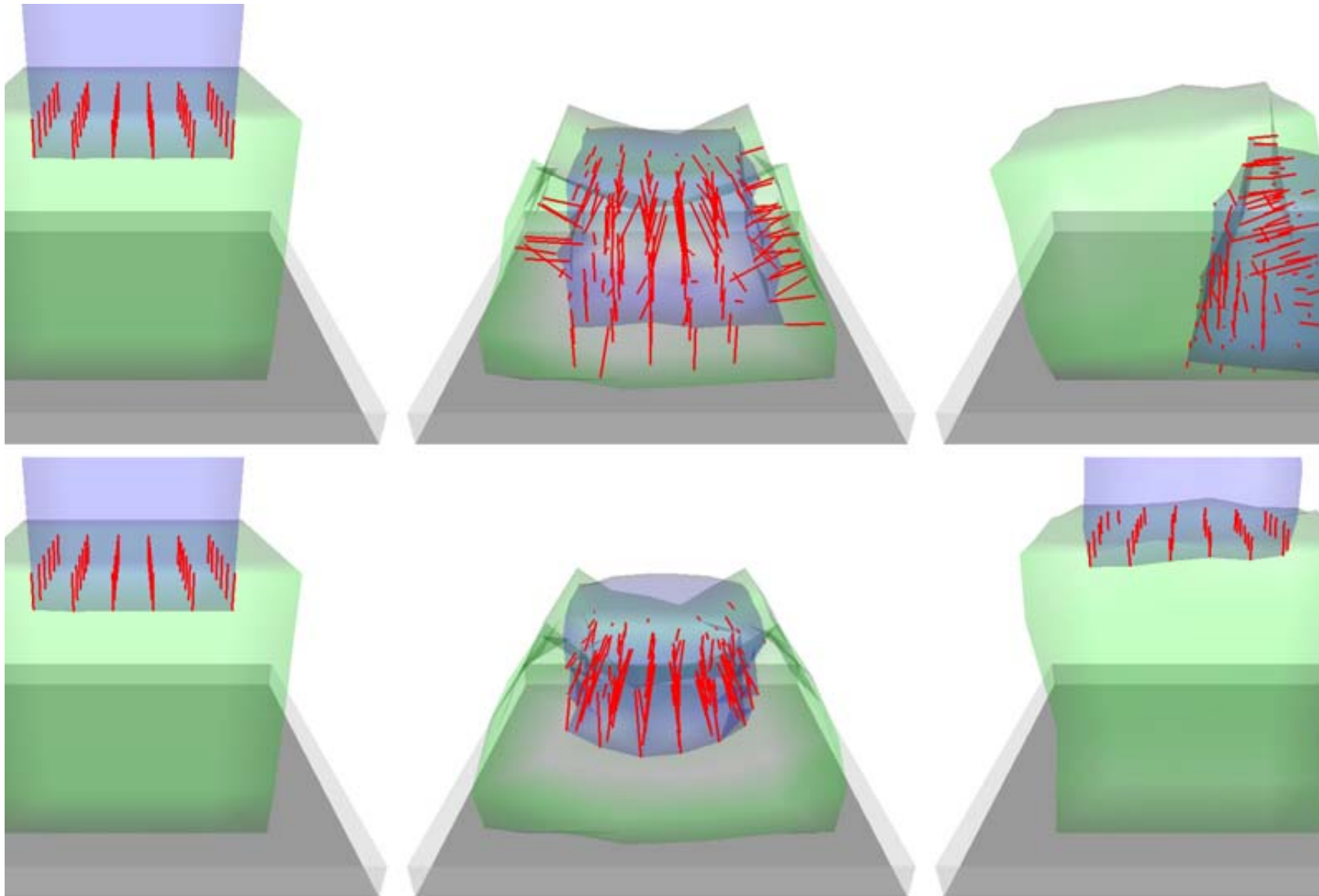
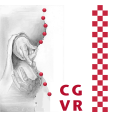
4. Phase: Propagation mittels breadth-first traversal durch das Tetraeder-Mesh

$$d(\mathbf{p}) = \frac{\sum_{i=1}^k \omega(\mathbf{p}_i, \mathbf{p}) ((\mathbf{p}_i - \mathbf{p}) \cdot \mathbf{r}_i + d(\mathbf{p}_i))}{\sum_{i=1}^k \omega(\mathbf{x}_i, \mathbf{p})}$$

wobei \mathbf{p}_i = schon besuchter eindringender Punkt von P, \mathbf{p} = noch nicht besuchter Punkt, \mathbf{r}_i = Richtung der geschätzten penalty force in Punkt \mathbf{p}_i .



Viualisierung



Consistent Penetration Depth Estimation for Deformable Collision Response

<http://cg.informatik.uni-freiburg.de>